

DOI: [10.46793/CIGRE37.D1.05](https://doi.org/10.46793/CIGRE37.D1.05)**D1.05****МЕХАНИЗМИ И МАТЕМАТИЧКО МОДЕЛОВАЊЕ ЕЛЕКТРИЧНОГ ПРОБОЈА  
ПЛЕМЕНИТИХ ГАСОВА У ОБЛАСТИ ПАШЕНОВОГ МИНИМУМА****MECHANISMS AND MATHEMATICAL MODELING OF ELECTRICAL BREAKDOWN  
OF NOBLE GASES IN THE PASCHEN MINIMUM REGION**

**Alija Jusić<sup>1</sup>, Nenad Kartalović, Adnan Mujezinović, Uroš Kovačević, Dragana Brajović,  
Predrag Osmokrović**

**Abstract.** У области Пашеновог минимума сменяются механизмы лавинного пробоя вакуума и аномального Пашеновского механизма пробоя и Townsend-ов механизма пробоя. Границы между этими механизмами не являются четко определенными, они взаимодействуют и влияют друг на друга. Показано, что эти механизмы взаимодействуют на электрическом разряде в газах в области Пашеновского минимума.

На основе этого изучения предлагаются новые выражения для коэффициента ионизации в зависимости от спектра свободных электронов в газе. Экспериментальное подтверждение показывает, что такой коэффициент ионизации дает лучшие результаты в области Пашеновского эффекта. Применение такого алгоритма расчета пробоя в зависимости от напряжения и соответствующих экспериментальных данных позволяет объяснить механизм пробоя пленочных газов в области Пашеновского минимума. Эксперименты проводятся в хорошо контролируемых лабораторных условиях с небольшой погрешностью.

**Keyword:** Пашенова област, лавинский механизм пробоя напряжения, аномальный Пашеновский механизм пробоя, Townsend-ов механизм пробоя.

**Abstract.** In the Paschen minimum region, the mechanisms of avalanche vacuum breakdown, the anomalous Paschen breakdown mechanism, and the Townsend breakdown mechanism alternate. The boundaries between these mechanisms are not sharply defined, instead, they intermingle and influence each other.

---

<sup>1</sup>Alija Jusić, Power Electric Utility of Bosnia and Herzegovina, Vilsonovo šetalište 15, 71000 Sarajevo, [al.jusic@epbih.ba](mailto:al.jusic@epbih.ba)

Nenad Kartalović, Nikola Tesla Institute of Electrical Engineering, University of Belgrade, Koste Glavinica 8a, 11000 Belgrade, Serbia, [nenad.kartalovic@gmail.com](mailto:nenad.kartalovic@gmail.com)

Adnan Mujezinović, Faculty of Electrical Engineering, University of Sarajevo, Zmaja od Bosne bb, 71000 Sarajevo, Bosnia and Herzegovina, [adnan.mujezinovic@efi.unsa.ba](mailto:adnan.mujezinovic@efi.unsa.ba)

Uros Kovačević, Innovation center, Faculty of Mechanical Engineering, University of Belgrade, Kraljice Marije 16, 11000 Belgrade, Serbia, [ukovacevic@mas.bg.ac.rs](mailto:ukovacevic@mas.bg.ac.rs)

Dragan Brajović, Fakultet tehničkih nauka Čačak Svetog Save 65 Čačak, Srbija, [dragan.brajovic@ftn.kg.ac.rs](mailto:dragan.brajovic@ftn.kg.ac.rs)  
Predrag Osmokrović, Elektrotehnički fakultet Beograd, Belgrade, Serbia, [opredrag@verat.net](mailto:opredrag@verat.net)

Since these electrical breakdown mechanisms are based on gas discharge, this study critically examines the mathematical model of electrical discharge mechanisms based on ionization expressions and coefficients according to Townsend and Takeishi.

Based on this analysis, new expressions for the ionization coefficient are proposed, assuming a Maxwellian spectrum of free electron gas. Experimental verification has confirmed that such an ionization coefficient provides the best results in the Paschen effect region. By applying the derived algorithm for calculating breakdown voltage values and comparing them with corresponding experimental values, an explanation of the electrical breakdown mechanism of noble gases in the Paschen region is provided. Experiments were conducted under well-controlled laboratory conditions with minimal measurement uncertainty.

**Keywords:** Paschen region, avalanche breakdown mechanism, anomalous Paschen breakdown mechanism, Townsend breakdown mechanism.

## 1 UVOD

Električni proboj gasova se javlja kao rezultat sudara elektrona molekulima ili atomima gasa, čime se stvaraju joni i elektroni, što može da rezultira uspostavljanju mehanizma samoodržanja. Uspostavljanje pražnjenja koje se samo održava, u velikoj meri kontrolišu odnosi razvoja sudarnih procesa koji obuhvataju nanelektrsanih čestica i njihovih transportnih svojstava. Sam električni proboj zavisi od djelotvornosti mehanizma stvaranja i nestajanjem elektronsko-jonskih parova koji određuju gustinu elektrona tokom električnog pražnjenja [1,2,3].

Jonizacija elektronima, što je osnovni elementarni proces svih električnih fenomena u gasovima, je za slučaj plemenitih gasova, uslovno, elastičnog tipa. Elastičnost elektronsko-atomskog sudara proističe u slučaju monoatomskih (plemenitih) gasova iz činjenice da kod njih ne dolazi do disocijacije molekula ni do pobuđivanja niskoenergetskih rotacionih i vibracionih kvantnomehaničkih stanja [4-6]. Ta činjenica omogućava da se energetskom spektru gase slobodnih elektrona pridruži Maksvelova raspodjela po brzinama, [7-9].

Posebno interesantna oblast električnog probaja (električnog pražnjenja uopšte) je oblast Pašenovig minima. To je oblast u okolini minima na Pašenovoj krivoj koja predstavlja zavisnost vrednosti probognog napona od proizvoda pritiska i medjuelektrovodnog rastojanja [9, 10]. Električno pražnjenje u oblasti Pašenovog minima je izuzetno složen. Složenost električnog pražnjenja u oblasti Pašenovog minima je posledica činjenice da se u njoj javljaju istovremeno skoro svi mogući mehanizmi samoodržavanja. To rezultira izuzetnom složenosti i kombinacijom mogućih ishoda električnog probaja [10-15]. Usled toga je eksperimentalno ispitivanje i projektovanje elektrotehničkih komponenti izolovanih gasom pri vrednosti pritiska i medjuelektrodno rastojanje u oblasti Pašenovog meinforma nepouzdano [16,17]. Ako se ovome razmatranju doda podatak da je većina elektrotehničkih komponenti izolovanih gasom na potpritisku pri malim medju elektrodnim rastojanjima, po pravilu, izolovana plemenitim gasovima postaje jasno zašto je cilj ovoga rada razvoj matematičkog modela električnog probaja plemenitih gasova u oblasti Pašenovog minima.

## 2 MEHANIZAM ELEKTRIČNOG PROBOJA PLEMENITIH GASOVA U OBLASTI PAŠENOVOG MINIMA

Pašenova kriva je zavisnost vrijednosti dc probognog napona od proizvoda pritiska i medjuelektrodnog rastojanja u homogenom električnom polju. Takva zavisnost, tj. činjenica da je proizvod pritiska i medjuelektrodnog rastojanja ( $pd$ ) „dobra promjenjiva“, direktno je posljedica važenja zakona sličnosti za fenomene električnog pražnjenja u gasovima [18,19].

Sama Pašenova kriva ima oblik asimetrične U-krive sa minimumom koji se većinu gasova nalazi izmedju 0,5 i 5 Pam i 150 i 500V, [20, 22]. Oblast Pašenovog minimuma nije teoretski definisana. U ovome radu će se smatrati da je oblast Pašenovog minimuma ograničena: sa lijeve strane  $pd$  vrijednosti pri kojoj se električni probaj odvija čistim vakuumskim mehanizmom, a sa desne strane  $pd$  vrijednosti pri kojoj se električni probaj odvija čistim gasnim mehanizmom (tj. da se van oblasti Pašenovog minimuma ne dešavaju sekundarni efekti aktivni na elektrodama). Pretpostavka da se tako definise oblast Pašenovog minimuma je opravdana pošto je lijevo od nje odnos srednje slobodne dužine puta elektrona i međuelektrodnog rastojanja veći od 1, a desno od nje manji od 1, [25-28].

Unutar oblasti Pašenovog minimuma mehanizam električnog pražnjenja se mijenja od lijeve granice ka desnoj granici sljedećim nizom: vakuumski lavinski mehanizam, anomalni Pašenov mehanizam i Townsend-ov mehanizam. U samom Pašenovom minimumu srednja slobodna dužina puta elektrona je jednaka međuelektrodnom rastojanju.

Kao što je rečeno električni probaj plemenitih gasova odvija se ionizacionim procesima. Ovi procesi uključuju pored elektronskih-atomskih sudara i sudare jona i fotona sa atomima gase ali i sa materijalom elektroda [24].

Svi ionizacioni procesi električnog pražnjenja dijele se na primarne i sekundarne. U primarne procese spadaju pomenuti procesi ionizacije, a sekundrani procesi su pozitivno povratna sprega koja aktivira sistem samoodržavanja električnog pražnjenja. Pri stvaranju matematičkih modela električnog pražnjenja u plemenitim gasovima primarni ionizacioni proces se opisuje primarnim Townsend-ovim koeficijentom  $\alpha$  (ionizacionim koeficijentom).

Primarni Townsend-ov koeficijent  $\alpha$  predstavlja broj jonizujućih sudara elektrona i atoma gase po jedinici puta u pravcu polja. Sekundarni ionizacioni procesi se opisuju sekundarnim Townsend-ovim koeficijentom  $\gamma$ . Sekundarni Townsend-ov koeficijent  $\gamma$  predstavlja ukupan prinos elektrona nastalih sekundarnim procesima po jednoj primarnoj lavini. Ovako definisani primarni i sekundarni koeficijenti nemaju konstantnu vrednost već se menjaju u zavisnosti od vrste gase, električnog polja i pritiska. Merenja su pokazala da se sekundarni Townsend-ov koeficijent za plemenite gasove u homogenom električnom polju može smatrati konstantnim sa vrednosću u opsegu u  $10^{-4}$  i  $10^{-1}$ . Zavisnost primarnog Townsend-ovog koeficijenta od vrste gase, električnog polja i pritiska opisana semiempirijskim izrazima koji imaju ograničenu primjenu. U ovom radu će se takvi semiempirijski izrazi za primarni Townsend-ov  $\alpha$  koeficijent uporediti sa teoretski izvedenim izrazom (koji se zasniva na elastičnoj prirodi elektronsko-atomskih sudara u slučaju plemenitih gasova).

Električno pražnjenje u gasovima u oblasti Pašenovog minimuma se odvija Townsend-ovim mehanizmom. Za Townsend-ov mehanizam električnog pražnjenja karakteristično je da se sekundarni procesi odvijaju skoro isključivo na elektrodama. To znači da sekundarni elektroni nepohodni za samoodržavanje električnog pražnjenja nasatju iz elektroda (katode) mehanizmima: jonsko izbjivanje, fotoemisija i izbjivanje eksitonovim (metastabilnim) jonom. To važi i za sve mehanizme probaja gase u oblasti Pašenovog minimuma.

U cilju opisivanja mehanizma Townsend-ovog probaja plemenito gase polazi se od slobodnog elektrona koji ima uslove da inicira električno pražnjenje (t.j. ima energiju veću od energije veze k elektrona atoma gase). Nakon predjenog puta  $x$  prema anodi jedan takav elektron generiše  $n(x)$  čiji se broj na sledećem elementu puta  $dx$  uveća za  $dn(x)$ , određena izrazom:

$$dn(x) = n(x) \cdot \alpha dx \quad (1)$$

Rješavanje diferencijalne jednačine 1 dobije se da struje koja stiže na anodu iznosi

$$i = \frac{i \cdot e^{\alpha d}}{1 - \gamma(e^{\alpha d} - 1)} \quad (2)$$

Na osnovu izraza 2 dobije se uslov da dodje do probaja Townsend-ovog mehanizma plemenitog gasa u homogenom polju

$$\gamma(e^{\alpha d} - 1) = 1 \quad (3)$$

U slučaju nehomogenog električnog polja uslov za probaj, izraz 3, prelazi u

$$\gamma \left[ \int_0^d \alpha e^{\int_0^x \alpha dx} \right] = 1 \quad (4)$$

Analizirajući izraz (2) može se zaključiti: 1-pri niskim vrijednostima jednosmjernog napona  $\gamma(e^{\alpha d} - 1)$  ima vrijednost nula; 2-sa porastom vrijednosti jednosmjernog napona izraz  $\gamma(e^{\alpha d} - 1)$  monotono raste do konačne maksimalne vrijednosti 1; 3- tada imenilac u izrazu (2) teži nuli, a vrijednost struje definisane izrazom (2) postaje neodređeno velika(teži beskonačnosti). Prema teoriji Townsend-ovog mehanizma probaja nastanak neodređeno velike vrijednosti struje definiše početak probaja. Townsend-ov mehanizam se može interpretirati na sljedeći način: 1-zavrijednost  $e^{\alpha d} < 1$  struja u međuelektrodnom prostoru(električno pražnjenje) nije samoodrživo; 2- za vrijednost  $e^{\alpha d} = 1$  broj jonsko-elektronskih parova generisanih u međuelektrodnom prostoru dovodi do pozitivne povratne sprege i definiše vrijednost praga nastanka električnog pražnjenja; 3- za vrijednost  $e^{\alpha d} > 1$  dolazi do kumulativne ionizacije sekundarnim procesima. To dovodi do ubrzanog porasta pražnjenja i ostvarenje uslova  $\gamma e^{\alpha d} = 1$ , [25].

Pošto električno pražnjene u gasu nastaje superpozicijom primarnih i sekundarnih procesa električnog pražnjenja veličine  $e^{\alpha d}$  i  $\gamma$  fluktuiraju oko neke srednje vrijednosti što znači da i proizvod  $\gamma e^{\alpha d}$  fluktira za pojedinačne lavine. To znači da bi odgovarajuće vrijednosti DC probajnog napona mogla da fluktira oko neke srednje vrijednosti. Te fluktuacije su algebarske prirode pa se srednja vrijednost DC probajnog napona za veće serije mjerena (>50) deterministička veličina [26, 27]. Međutim, fluktuacije vrijednosti DC probajni napon za manje serije i mjerena instrumentima velike rezolucije čine rezultat takve serije takve serije statističkim uzorkom slučajne promjenljive probajni napon, [28]. Prema tome DC probajni napon, u zavisnosti od eksperimentalnog postupka njegovog određivanja može biti razmatrana ili kao deterministička ili kao stohastička veličina.

Pošto svaka deterministička veličina može da se odredi numerički ako postoji odgovarajući fizički model, znači da se na osnovu izraza (3) ili (4) i poznavanja zavisnosti koeficijenata  $\alpha$  i  $\gamma$  od pritiska gase i električnog polja može izračunati zavisnosti vrijednosti DC probajnog napona ispitivanog gase od proizvoda  $pd$  (pritisak x međuelektrodno rastojanje). U tu svrhu Townsend je za ionizacioni koeficijent  $\alpha$  predložio empirijsku zavisnost, [28].

Svaka deterministička veličina se mora moći odrediti ako postoji odgovarajući fizički model. Da bi se na osnovu izraza (3) i (4) mora se poznavati zavisnost koeficijenata  $\alpha$  i  $\gamma$  od relativnih veličina, tj. od pritiska gase i vrijednosti električnog polja. Townsend je za koeficijent  $\alpha$  predložio empirijsku zavisnost, [28]:

$$\alpha(x) = pC_1 e^{-\frac{C_2}{E(x)}} \quad (5)$$

gdje su:  $C_1$  i  $C_2$ - konstante koje su karakteristike posmatranog gasa. Pošto je prema jednačini gasnog stanja proizvod  $pd$  (pritisak x međuelektrodno rastojanje) „dobra“ promjenljiva i  $E(x)=U/d$  izraz (5) se može napisati u obliku:

$$\alpha(x) = pC_1 e^{-\frac{C_2 pd}{U}} \quad (6)$$

što odgovara fizičkom modelu lavinskih mehanizama kumulativnih procesa električnog praženjenja u gasovima. Konstante  $C_1$  i  $C_2$  su određene za sve gasove.

U tabeli T1 date su vrijednosti konstanti  $C_1$  i  $C_2$  za plemenite gasove zajedno sa oblašću primjenljivosti:

Tabeli T1: Vrijednosti konstanti  $C_1$  i  $C_2$  za plemenite gasove zajedno sa oblašću primjenljivosti:

Gas	$C_1[1/Pam]$	$C_2[V/Pam]$	Oblast primjenljivosti $E(x)/p [V/Pam]$
<b>He</b>	2.1	25.5	150 do 112
<b>Ne</b>	3.0	75	75 do 300
<b>Ar</b>	10.2	135	75 do 450
<b>Xe</b>	19.5	262.5	150 do 600
<b>Kr</b>	12.75	180	75 do 750

Za plemenite gasove Takeishi dao je izrazu za  $\alpha(x)$  u obliku, [25]:

$$\alpha(x) = pK_1 \left[ 1 - e^{-\frac{K_2 \frac{U}{pd}}{K_3}} \right] \quad (7)$$

gdje su  $K_1$ ,  $K_2$  i  $K_3$  konstante za određene gasove, Tabela T2.

Tabela T2: Vrijednosti konstanti  $K_1$ ,  $K_2$  i  $K_3$  za plemenite gasove zajedno sa oblašću primjenljivosti:

Gas	$K_1[1/Pam]$	$K_2[V/Pam]$	$K_3[V/Pam]$	Oblast primjenljivosti $E(x)/p [V/Pam]$
<b>He</b>	2.23	6	120	6 do 225
<b>Ne</b>	3.14	7.05	150	7.05 do 300
<b>Ar</b>	10.45	18.38	341.25	18.38 do 1200
<b>Xe</b>	20.88	31.35	585	31.35 do 1800
<b>Kr</b>	12.88	19.88	382.5	19.88 do 1500

Sekundarni ionizacioni koeficijent  $\gamma$  se, u prvoj aproksimaciji, može smatrati konstantnim u odnosu na vrijednost električnog polja i pritiska. On zavisi od vrste gase i materijala elektroda. U tabeli T3 su date vrijednosti sekundarnih ionizacionog koeficijenta  $\gamma$  za razne plemenite gasove i elektrode od volframa, [29]:

Tabela T3: Vrijednosti ionizacionog koeficijenta  $\gamma$  za razne plemenite gasove i elektrode od volframa

Gas	$\gamma$
He	0.29
Ne	0.213
Ar	0.095
Xe	0.013
Kr	0.05

Izrazi za Townsend-ove ionizacione (primarne) koeficijente date izrazima (5) i (7) su empirijski izrazi dobijeni logičkim razmatranjem, a ne egzaktnim fizičkim modelom.). Naime, pošto svaki kumulativni lavinski proces ima porast takav da je diferencijalni broja konstitutivnih komponenata lavine na diferencijalnom dijelu puta proporcionalan je ukupnom broju konstitutivnih komponenata. U slučaju električnog praženjenja u gasovima nerelevantne konstitutivne komponente (elektroni) zadovoljavaju navedeni uslov što dokazuje izraz (1). Na osnovu toga lahko se zaključuje da ionizacioni koeficijent treba da ima ekponencijalu promjenu.

Ta promjena treba da bude rastuća sa porastom vrijednosti električnog polja pošto tada elektroni preuzimaju veću količinu energije na srednjoj dužini slobodnog puta. Također, ta promjena treba da bude opadajuća sa porastom pritiska pošto veći pritisak gase znači veću gustinu gase, odnosno kraću srednju slobodnu dužinu puta. Kada se ovakvom razmatranju dodaju dvije ili tri konstante koje se određuju fitovanjem odgovarajućih eksperimentalno dobijenih tačaka dobijaju se izrazi koji omogućavaju određivanje vrijednosti DC probognog napona (kao što su izrazi (6) i (7)). Mana tih izraza je što važe samo za određene oblasti vrijednosti odnosa električnog polja i pritiska i što nisu zasnovani na fundamentalnim fizičkim zakonima.

Pošto ionizacioni proces skoro u potpunosti zavisi od ionizacije slobodnim elektronima. Townsend-ov ionizacioni koeficijent se može dobiti na osnovu poznavanja spektra gase slobodnih elektrona na osnovu definicije iz statističke fizike, [30, 31]:

$$\alpha(x) = n_0 \int_0^{\infty} \sigma_i(\varepsilon) v f(\varepsilon) d\varepsilon \quad (8)$$

gdje je  $v$  brzina slobodnih elektrona u spektru,  $\sigma_i$  efikasni presjek ionizaciju u zavisnosti od energije  $\varepsilon$  slobodnih elektrona spektru,  $n_0$  gustina naleketrisanih atoma i  $f(\varepsilon)$  funkcija raspodjele slobodnih elektrona po energijama (spektar gase slobodnih elektrona) spektar gase slobodnih elektrona je Makswelovskog tipa:

$$f(\varepsilon)d\varepsilon = 2\sqrt{\frac{\varepsilon}{\pi}}\left(\frac{1}{kT}\right)^{\frac{3}{2}}e^{-\frac{\varepsilon}{kT}}d\varepsilon \quad (9)$$

Promjenama izraza (9) u izraz (8), nakon integracije dobija se:

$$\alpha(T_e) = 4\frac{M\sigma_{io}}{R\sqrt{\pi}}p\frac{\varepsilon_i + 2T_e}{T_e}e^{-\frac{\varepsilon_i}{T_e}} \quad (10)$$

gdje je M molekularna masa gasa, p priorisak gasa,  $\sigma_{io}$  efikasni presjek za ionizaciju neutralnog molekula gasa elektronima energije  $\varepsilon_i$ , R Ridbegova konstanta i  $T_e$  elektronska temperatura određena izrazom:

$$T_e = kT = \xi\lambda eE \quad (11)$$

gdje je  $\xi$  termoliracioni form faktor,  $\lambda$  srednja slobodna dužina puta i E električno polje.

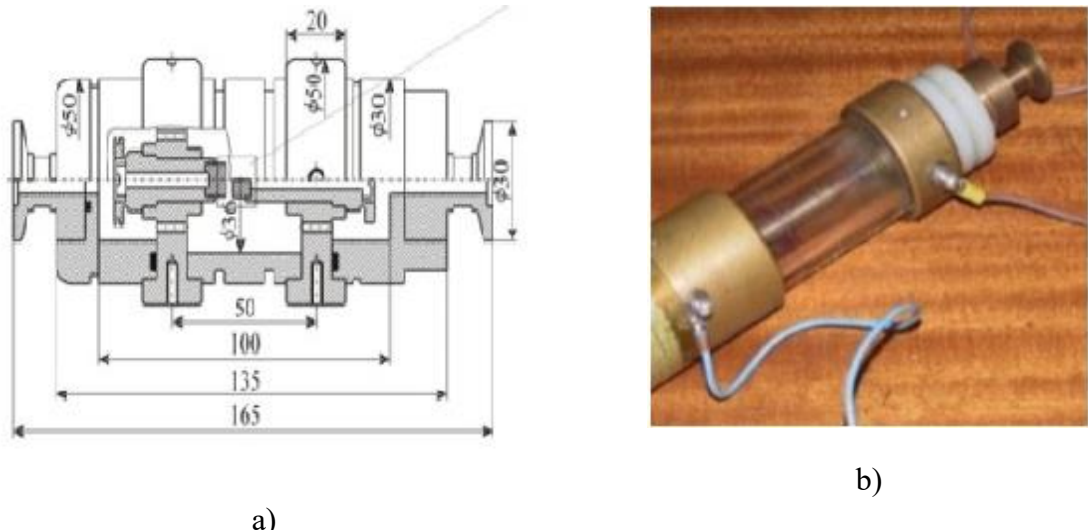
Izraz (10) omogućava da se odredi zavisnost jonizacionog koeficijenta na osnovu poznavanja(ili mjerena) parametara koji se javljaju u izrazima (10) i (11), [32]. Zamjenom izraza (10) i (11) u uslov za Townsend-ov probaj dat izrazima (3) i (4) dobija se da DC probajni napon zavisi od proizvoda  $pd$ . To potvrđuje ispravnost postupka ovakvog izvođenja izraza za jonizacioni koeficijent(pošto to znači da zadovoljava zakon sličnosti za električna pražnjenje u gasovima). Treba naglasiti da ovako izведен jonizacioni koeficijent  $\alpha$  važi u potpunosti samo za plemenite gasove. Naime, u električnom polju energetski spektar gase slobodnih elektrona driftuje u pravcu polja i dobija se na srednjoj slobodnoj dužini puta određeni iznos energije. Ako je gas molekularne prirode u neelastičnoj interakciji sa gasom slobodnih elektrona dolazi do pobuđivanja rotacionih i vibracionih stanja molekula. Ta promjena spektra gase slobodnih energija ka nižim energijama i djelimično se gubi Maksvelov oblik spektra. Međutim, u slučaju atomskih (plemenitih) gasova interakcije su elestične uslijed postojanja samo jednog stepena slobode i spektar gase slobodnih elektrona se ne mijenja (zadržava Maksvelov oblik).

Prethodno prikazani jonizacioni koeficijenti omogućavaju dobijanje pašenove krive koja podrazumjeva determinističke prirode vrijednosti DC probajnog napona. U slučaju da su ispunjeni uslovi da se DC probajni napona posmatra kao stohastička vrijednost na njega se primjenjuju statistički postupci.

### 3 EKSPERIMENT

Izvedeni algoritmi za proračun vrednosti DC probajnog napona i njihovo međusobno poredjenje vršeno je eksperimentalno. Za eksperimente je korišćena gasna komora, slika 1. Komora sa slike 1 bila je projektovana za podprtisak. Vakumpasta na O-ringovima i teflonske trake na navojima obezbedjivali su izuzetno dobru zaptiveneost komore. Preciznim mernim instrumentom nije bilo moguće ustanoviti promenu pritiska u komori redovnim merenjem tokom 50 sati. Elektrodni sistem E u komori omogućavao je promenu elektroda. Jedan od nosača elektroda je bio namenjen za podešavanje medjeelektrodnog rastojanja. Taj nosač elektroda je imao fini navoj ( $0,25\text{mm}/2\pi$ ) za podešavanje međuelektrodnog rastojanja I ugradjen elektronski mikrometar.

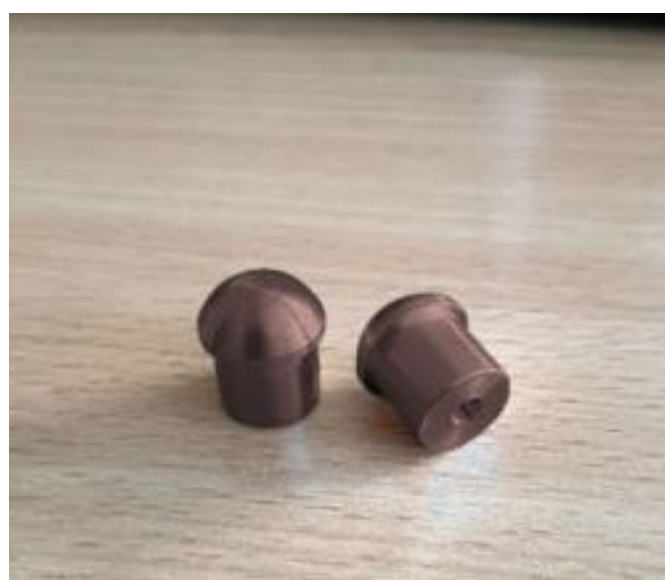
Nulto rastojanje elektroda određivano je merenjem omske otpornosti izmedju elektroda (kao trenutak kada otpornost počne da fluktuirala izmedju nula i beskonačno).



Slika 1: Gasna komora, a)tehnička shema; b) fotografija

Punjjenje komore gasom vršeno je preciznim gasnim krugom, [33]. Postupak punjenja komore sastojao se u sljedećim koracima: 1-vakumiranje komore do pritiska  $10^{-1}$ Pa; 2-punjjenje komore radnim gasom do  $10^6$  Pa; 3-ponavljanje koraka 1 i 2 tri puta; 4-dozir ventilom punjenje komore na željenu vrijednost pritiska svedenu na vrijednost pritisak pri  $0^{\circ}\text{C}$  primjenom izraza  $p(t) = (1 + \frac{t}{273,16}) p(0)$  (gdje je t radna temperatura); 5-vršenje mjerjenja i 6-podešavanje sljedeće vrijednosti pritiska.

Tokom mjerjenja korišćene su elektrode oblika Rogovskog slike 2. Elektrode su bile uvek na istom rastojanju (0,3mm). Profil površina elektroda je pratio odgovarajuću ekvipotencijalnu liniju određenu metodom simulacije naelektrisanja. Elektrodne površine su bile ili polirane do visokog sjaja ili pjeskarene. Za izradu elektroda su korišteni materijali dati u tabeli T4.



Slika 2: Elektrode oblika Rogovskog

Tabela T4: Primenjivani Metodi za izradu elektrodno odgovarajuće vrednosti izlaznog rada

Metal	Izlazni rad	Metal	Izlazni rad
<b>Elektron</b>	1,8eV	Gvoždje	4,36eV
<b>Aluminijum</b>	3,74eV	Bakar	4,47eV
<b>Srebro</b>	4,28eV	Volfram	4,5eV

Za određivanje srednje vrijednosti DC probajnog napona vršeno je 100 uzastopnih mjerena. Između dva uzastopna mjerena pravljena je pauza 30 sekundi. Prije svake serije mjerena elektrodni sistem je kondicioniran za 20 uzastopnih probaja. Dobijeni rezultati su testirani na pripadnost jedinstvenom statističkom uzorku (Šovenov kriterijum i Man-Whitney test sume) i Man-Whitney test i U-testa) Kao DC napon korišćen je napon porasta brzinom  $8 \text{ V}/\text{s}$ . Niskonaponska elektroda je bila uzemljena preko otpornosti  $500\text{M}\Omega$  (u cilju smanjenja uticaja prethodnih mjerena). Vrijednost DC probajnog napona mjerena je omskim djeliteljem i memorijskim voltmetrom. Mjerni instrumenti su se, tokom eksperimenta, nalazili u mjernoj kabini zaštitom većom od 100dB, [34]. Sva mjerena su vršena pod dobro kontrolisanim laboratorijskim uslovima. Kombinovana mjerna nesigurnost određena statističkim i analitičkim postupkom bila je manja od 5%, [35, 36, 37].

Eksperimentalni postupak je bio podeljen u četiri cjeline:

- Primenom izraza za Townsend-ov mehanizam probaja homogenog električnog polja (izraz 3.) i izraza za primarni (jonizacioni) koeficijent  $\alpha$  i sekundarni ionizacioni koeficijent  $\gamma$  (izrazi ili 5, ili 7, ili 10) uz vrednosti konstanti datih u tabelama T1, T2 i T3 odredjene su Pašenove krive sa desne strane Pašenovog minimuma. Pri tome su korišteni uslovi: gasovi He, Ar, Xe i elektrode od volframa polirane do visokog sjaja.
- Nakon toga je pod istim uslovima izvršeno merenje vrednosti DC probajnog napona.

Na osnovu kvadratnog odstupanja između teoretskih krivih i eksperimentalno dobijenih tačaka određeno je koji izraz za primarni koeficijent (jonizacioni)  $\alpha$  daje najmanje odstupanje. (Nadalje u radu je u svim proračunima korišten taj koeficijent).

Nakon toga je primjenom Mann–Whitney U testa sume rangova određena desna granica oblasti Pašenovog minimuma, prelazna oblast i oblast sa isključivo strimerskim mehanizmom probaja. Na taj način (statističkom analizom) određene granice proverene su eksperimentalno korišćenjem pored poliranih elektroda od volframa i identične polirane elektrode od drugih materijala.

- U tačkama lijevo od minimuma vršen je takođe proračun vrijednosti DC probajnog napona uz pretpostavku korištenja istih gasova (He, Ar, Xe) i poliranih elektroda od volframa. Nakon toga je, pod istim uslovima, izvršeno, merenje vrednosti probajnog napona. Primenom Mann–Whitney U testa sume rangova ustanovljeno je da slučajne promjenjive DC probajni napon ne pripadaju jedinstvenom statističkom uzorku. Za tumačenje te pojave primjenjen je proračun vrijednosti DC probajnog napona prema Townsend-ovom uslovu za nehomogeno električno polje (izraz 4.).
- Na način na koji je to urađeno u tačkama desno od Pašenovog minimuma određene su granice oblasti desno od Pašenovog minimuma u kojim se probaj

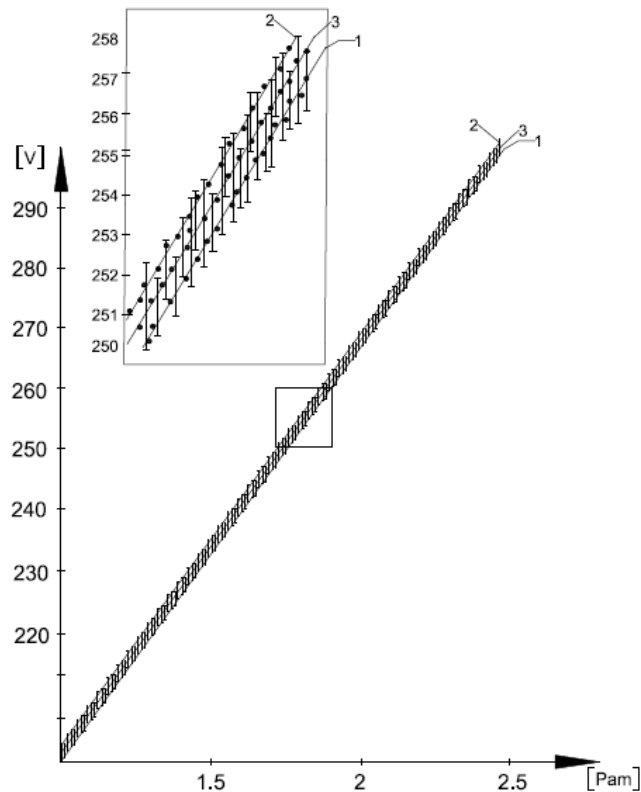
gasa odvija gasnim Townsend-ovim mehanizmom i karakteristike tog mehanizma. Pored toga određena je granica prelazne oblasti između gasnog mehanizma probaja i vakuumskog mehanizma probaja lavinskim mehanizmom. Takodje je odredjena granica nakon koje prestaje mogućnost pojave vakuumskog lavinskog mehanizma i nastupa čist vakuumski mehanizam probaja katodnog tipa. U tu svrhu vršena su mjerena na elektrodama od različitih materijala poliranim i peskarenim.

#### 4 REZULTATI I DISKUSIJA

Na slici 3 su prikazani djelovi iz proračunatih Pošenovih krivih desno od Pošenovog minimuma. Proračun je vršen za uslove: gas Ar, elektroda polirane, materijal volfram, međuelektrodno rastojanje 0,3 mm.

Tokom proračuna je korišten izraz (3) (Townsend-ov uslov za probaj) sa izrazima za jonizacioni koeficijent  $\alpha$  (6) (Townsend-ov izraz - kriva 1.), (7) (Takeishi izraz - kriva 2.) i (10) (izvedeni izraz prema Maksvelovoj raspodjeli gase i slobodnih elektrona - kriva3.).

Pored proračunatih Pošenovih krivih na slici 3, su prikazane i odgovarajuće eksperimentalne tačke dobijene tačke (dobivene pod istim uslovima prema kojim su vršeni proračuni).



Slika 3: Proračunate Pošenove krive desno od Pošenovog minimuma: 1-jonizacioni koeficijent prema izrazu (3); 2- jonitacioni koeficijent prema izrazu (7); 3-jonizacioni koeficijent prema maksuelovoj raspodjeli gase slobodnih elektrona; • odgovarajuće eksperimentalno dobijene vrijednosti sa statističkim rasipanjem(pod istim uslovima prema kojima su proračunate Pošenove krive)

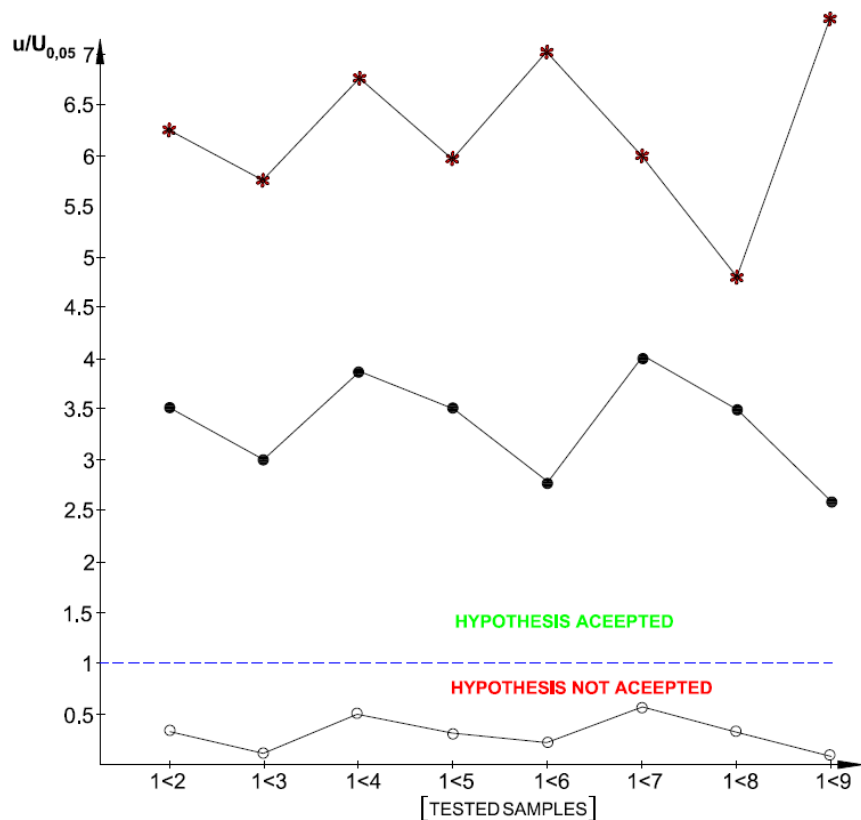
U tabeli 5 date su vrijednosti kvadratnog odstupanja između eksperimentalnih i teoretski proračunatih krivih sa slike 3.

Tabela T5: Kvadratno odstupanje između eksperimentalno dobijenih tačaka i teoretski proračunatih krivih

<b>Kvadratno odstupanje proračunatih Pašenovih krivih i eksperimentalnih tačaka</b>		
<b>d<sub>1</sub>[V<sup>2</sup>]</b>	<b>d<sub>2</sub>[V<sup>2</sup>]</b>	<b>d<sub>3</sub>[V<sup>2</sup>]</b>
3,4	2,1	1,4

Rezultati prikazani na slici 3 i tabeli 4 pokazuju da se najbolje slaganje eksperimentalnih rezultata teoretskih proračuna dobija za teoretski proračun dobijen novo izvedenim eksponencijalnim koeficijentom izraz (10). Time se verifikuje takva vrsta proračuna. Na osnovu ovog rezultata su svi proračuni vrijednosti probajnog napona u radu vršena upotrebom izraza (10) za ionizacioni koeficijen.

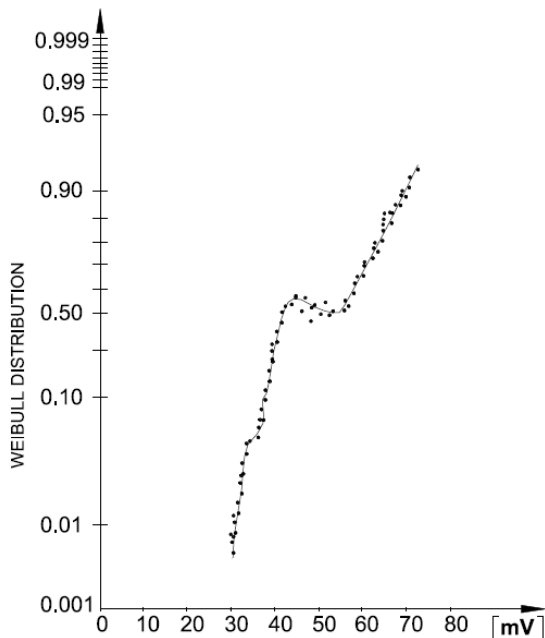
Na slici 4 prikazani su rezultati U-testa za deset statističkih poduzoraka od po deset hronoloških vrijednosti DC probajnih napona iz niza od 100 mjerena u tačkama 1,5 Pam, 2,0 Pam i 2,5 Pam. Kao što je rečeno, mjerena su vršena preciznim mjernim instrumentom sa pet pouzdanih cifara. U-test je sproveden svođenjem na prvi statistički poduzorak. Međutim pokazalo se da se suštinski isti rezultati dobiju i u testovima sprovedenim svođenjem na druge statističke uzorke.



Slika 4: Rezultati U-testa za deset hronoloških poduzoraka od po deset slučajnih promjenljivih DC probajnih napon u tačkama: \*-1,5 Pam; o-2,0 Pam i •-2,5 Pam

Rezultati U-testa, slika 4, pokazuju da su u tačkama 1,5 Pam i 2,5 Pam sve slučajne promenljive DC probajni napon pripadaju jedinstvenom statističkom uzorku. To tvrdnja ne važi za slučajne promenljive DC probajni napon u tački 2,0 Pam.

Analizom slučajnih promenljivih DC probajnog napona pokazuje da pripadaju složenoj raspodjeli aditivnog tipa, slika 5. Sa slike 5 se vidi da slučajne promenljive DC probajni naponi pripadaju dvijema aditivnim Weibullovim raspodjelama.



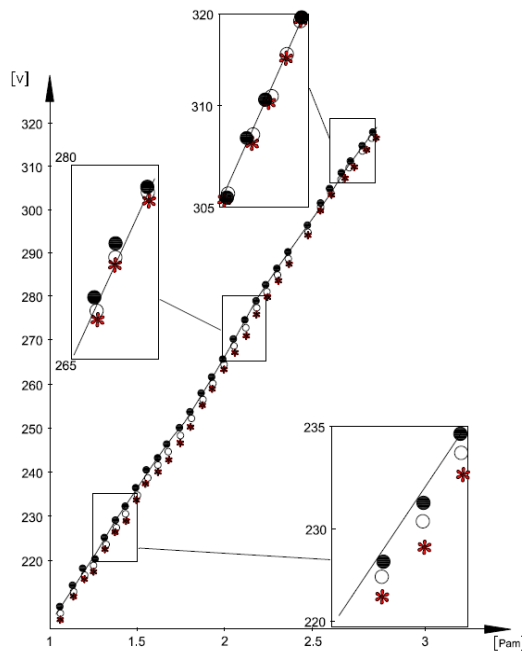
Slika 5: Statistički uzorak slučajne promjenljive DC probajni napon na papiru Weilubulove vjerovatnoće dobijenih eksperimentalno u tački (2,0 Pam, 300 V)

Na osnovu rezultata prikazanih na slikama 3, 4 i 5 se može zaključiti da se od Pašenovog minimuma do tačke 1,5 Pam probaj odvija Townsend-ovim mehanizmom, a u tačkama između tačke 1,5 Pam i 2,5 Pam probaj se odvija kombinacijom Townsend-ovim i strimerskim mehanizmom. Za vrijednosti proizvoda  $pd$  većim od 2,5 Pam probaj se odvija strimerskim mehanizmom.

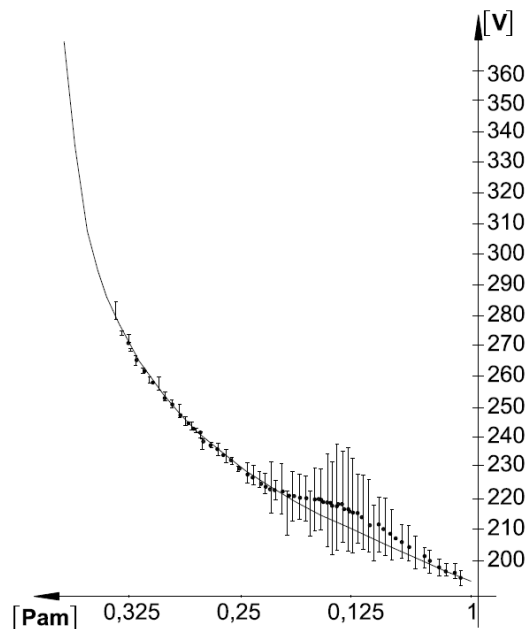
Ovaj zaključak potvrđuju i rezultati dobijeni primjenom elektroda od različitih materijala (elektron, aluminijum i volfram), slika 6. Sa slike 6 se vidi da materijal elektrode jednoznačno utiče na vrijednost DC probajnog napona od Pašenovog minimuma do tačke 1,5 Pam.

U tačkama između 1,5 Pam i 2,5 Pam taj uticaj postoji, ali nije jednoznačan. U tačkama iznad  $pd$  vrijednosti 2,5 Pam materijal elektroda ne utiče na vrijednost DC probajnog napona.

Na slici 7 su prikazan dio proračunate Pašenove krive lijevo od Pašenovog minimuma. Proračun je vršen pod istim uslovima kao i za dio krive desno od Pašenovog minimuma, uz primjenu izraza (10) za ionizacioni koeficijent. Pored proračuna Pašenove krive na slici 7 su prikazani i odgovarajući eksperimentalno dobijene tačke (dobijene pod istim uslovima prema kojima su vršeni proračuni).

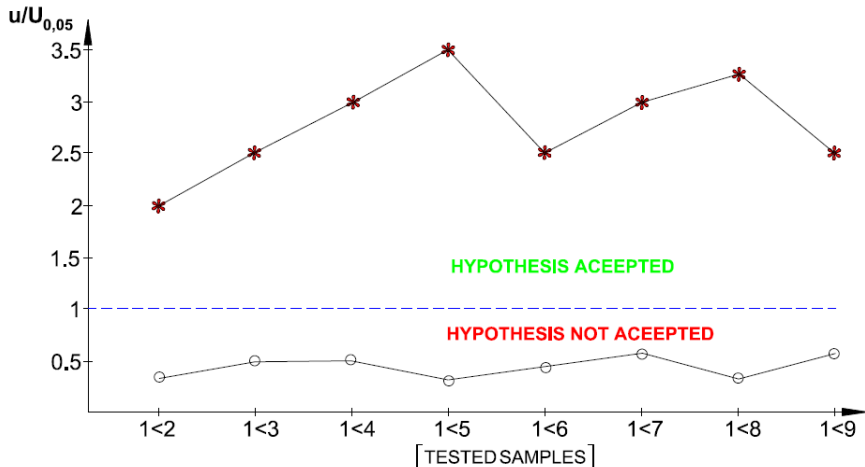


Slika 6: Vrijednost DC probojnog napona dobijene eksperimentalno u posmatranoj oblasti desno od Pašenovog minimuma; •-volfram, \*- elektron i o-srebro

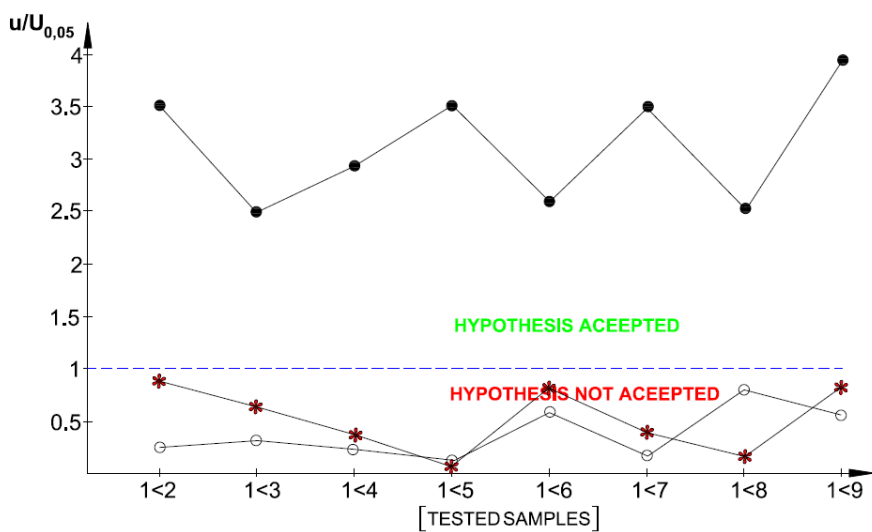


Slika 7: Proračunate pašenove krive lijevo od pašenovog minimuma dobijene pod istim uslovima kao i odgovarajući proračun desno od pašenovog minimuma(uz primjenu izraza (10) za jonizacioni koeficijent); • odgovarajuće eksperimentalno dobijene vrijednosti sa statističkim rasipanjem(pod istim uslovima prema kojima su proračunate Pašenove krive)

Za razliku od odnosa proračunatih krivih Pašenovih krivih desno od Pašenovog minimuma i odgovarajućih eksperimentalno dobijenih rezultata odnos proračunatih Pašenvih krivih prema odgovarajućim eksperimentalno dobijenim rezultatima se znatno razlikuje, naročito u dijelu bliskom Pašenovom minimumu. Te razlike se sastoje u sljedećem: 1-slaganje eksperimentalno dobijenih rezultata sa odgovarajućim proračunatim Pašenovim krivima je vrlo loše i 2-eksperimentalno dobijeni rezultati imaju znatno statičko odstupanje (naročito u tačkama bliskim minimumu).



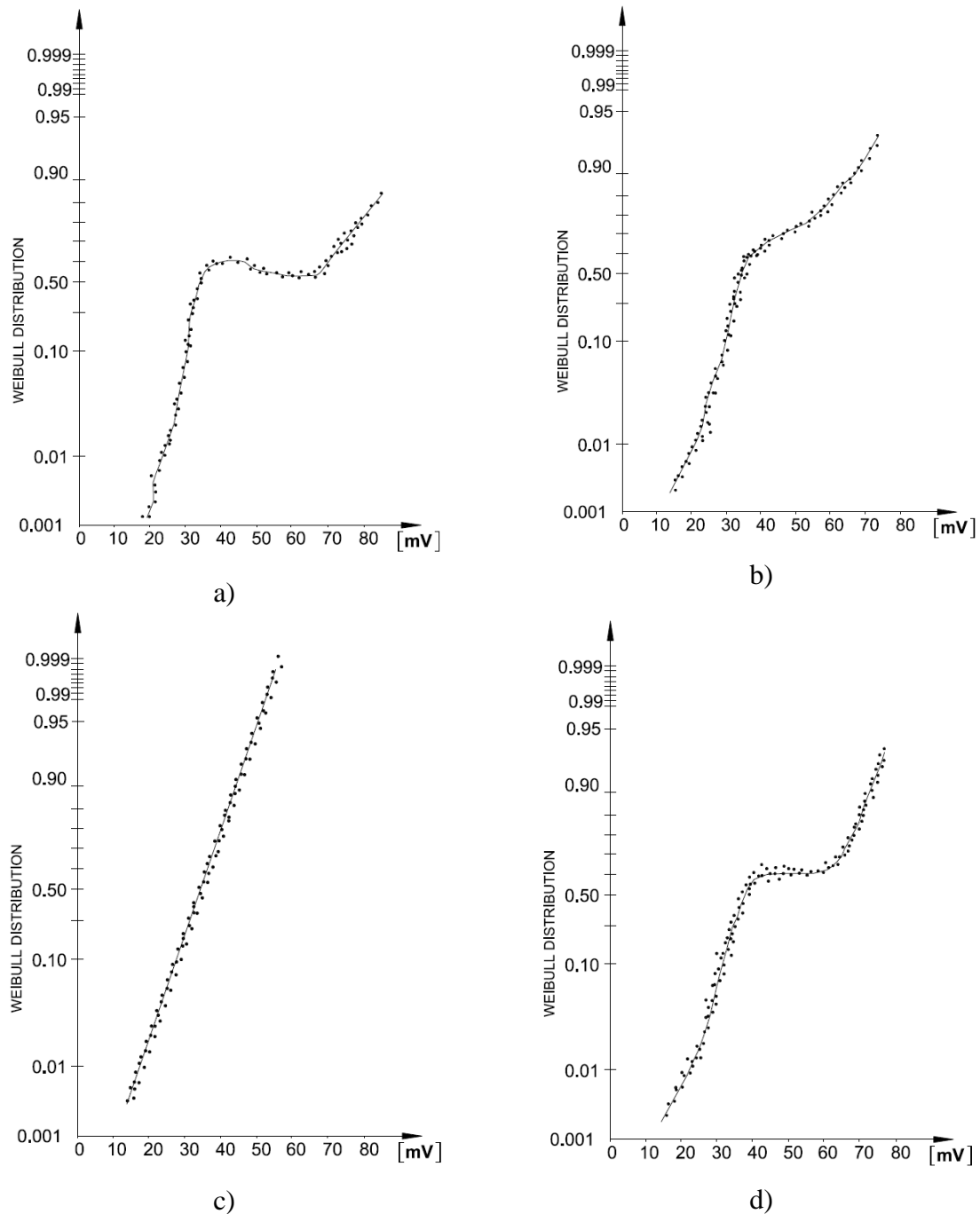
a)



b)

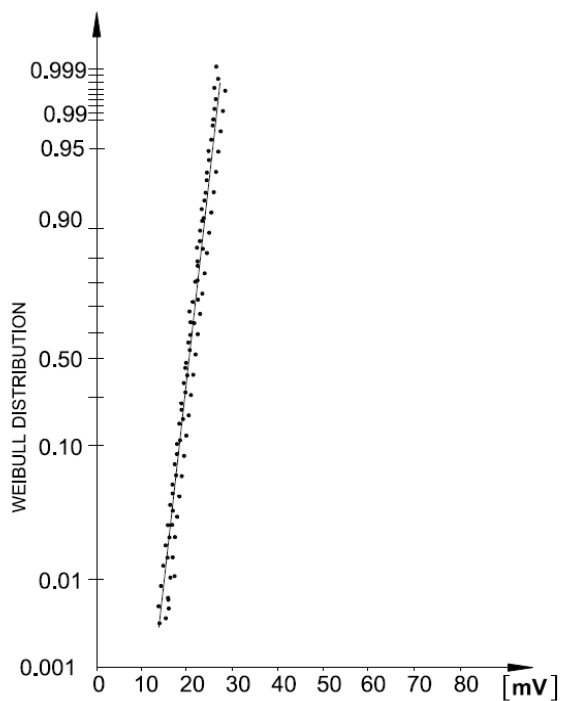
Slika 8: Rezultati U-testa za deset hronoloških poduzoraka od po deset slučajnih promjenljivih DC probajni napon; a- u tačkama 0,75( $\bullet$ ) i 0,20(\*); polirane elektrode od volframa b-u tačkama 0,75( $\bullet$ ), 0,15(\*) i 0,10 Pam( $\circ$ ) pjeskarene elektrode od volframa;

Na slici 8a prikazani su rezultati U-testa za deset statistički poduzoraka od po deset hronoloških vrijednosti DC probajnih napona od niza od sto mjerjenja poliranim elektrodama od volframa. Rezultati U-testa prikazani na slici 8 pokazuju da ni jedan od deset pouzoraka ne pripada jedinstvenom statističkom uzorku. Statističkom analizom slučajne promjenljive DC probajni napon eksperimentično određenih za tačku 0,25 Pam pokazuje da slučajne promjenljive DC probajni napona pripadaju složenijoj raspodjeli aditivnog tipa koja se sastoji od dvije Weilbullove raspodjele, slike 9. Ovakav rezultat se može objasniti ako se u tačkama lijevo od Pašenovog minimuma dio probaja odvija linijama(„di“) dužim od međuelektrodnog rastojanja („ $d_m$ “) koje pri pritisku  $P_1$  nižem od pritiska u Pašenovom minimumu ( $P_{min}$ ) zadovoljavaju uslov  $P_1 d_1 = P_{min} d_{min}$ . Na taj način je stvoren uslov da se probaj po dužoj putanji ostvaruje nižom vrijednošću DC probajnog napona (jednakom probajnom naponu u Pašenovom minimumu). Više vrijednosti slučajne promjenljive DC probajnog napona su posljedica prethodno objašnjene fluktuacije u vrijednosti ionizacionih koeficijenata (koje rezultuju fluktuacijama slučajne promjenljive DC probajni napon).



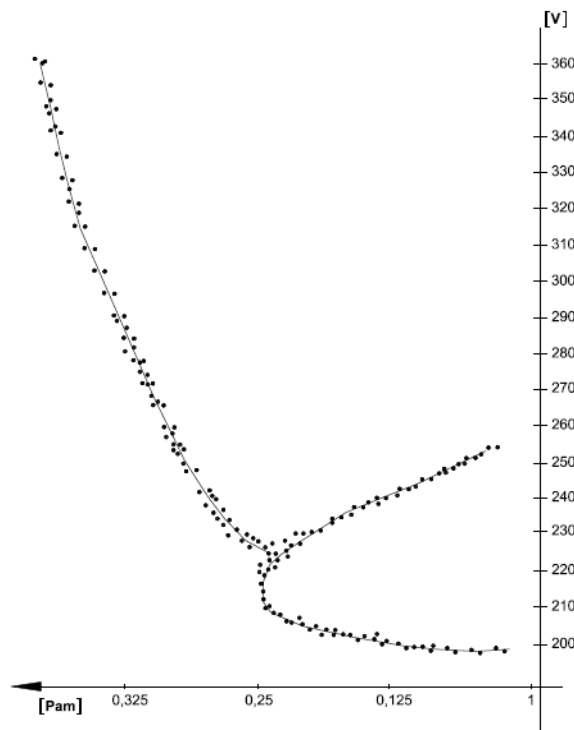
Razdvajanjem aditivnih komponenta statističkog uzorka slučajne promjenljive DC probognog napona lijevo od Pašenovog minimuma (u blizini minimuma) dobijaju se dva stohastička uzorka malog statističkog rasipanja (slika 10). Ova pojava se u literaturi naziva Anomalni Pašenovim efektom i često drugačije objašnjava, [38].

Pomjeranjem u lijevo ka nižim vrijednostima proizvoda pd gube se karakteristike odnosa proračunate krive Pašenove krive i odgovarajućih eksperimentalni dobijenih rezultata. Slaganje eksperimentalno dobijenih rezultata sa proračunatim Pašenovim krivim i dalje je loše, ali eksperimentalno dobijeni rezultati imaju znatno manje rasipanje. Analiza pripadnosti jedinstvenom statističkom uzorku slučajne promjenljive DC probogni napon U-testom pokazuje da ta hipoteza testa usvojena.

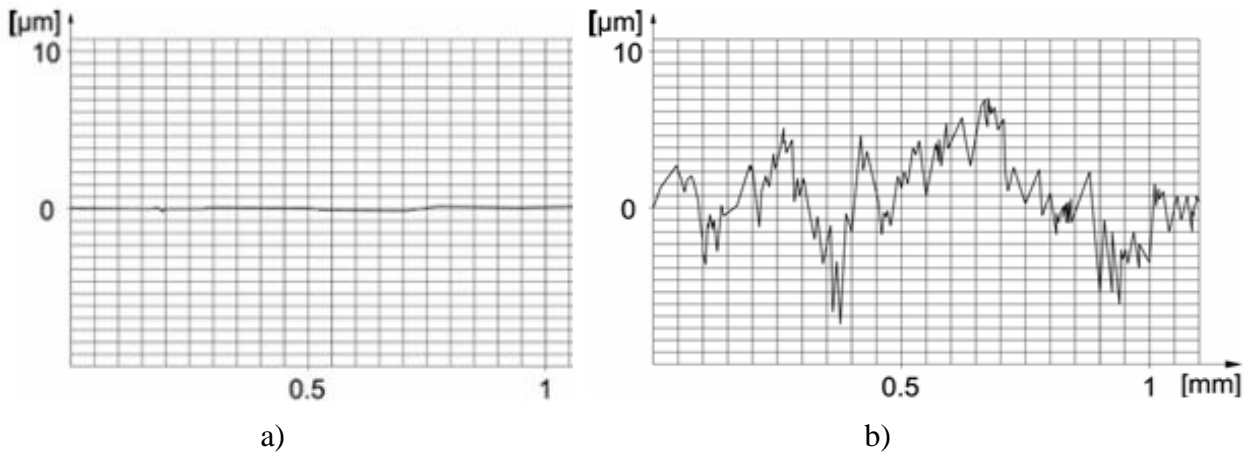


f)

Slika 9: Statistički uzorak slučajne promjenljive DC probajni napon na papiru Weilubulove vjerovatnoće dobijenih eksperimentalno u tačkama 0,75 Pam i 0,20 Pam za polirane elektrode od volframa i u tačkama 0,75 Pam, 0,15 Pam i 0,10 Pam za pjeskarene elektrode od volframa



Slika 10: Dva stohastička uzorka malog statističkog rasipanja



Slika 11: Topografija površine elektrode polirane do visokog sjaja i pjeskarene elektrode (dobijene taligratom)

Međutim, ako se umjesto poliranih elektroda upotrebe pjeskarene elektrode situacija se mjenja. Javlja se jedna uska oblast u kojoj je slaganje eksperimentalno dobijenih rezultata i proračunate Pašenove krive dosta dobro i statističko rasipanje je zanemarivo. Nakon te oblasti javlja se obalst gdje dolazi do većeg odstupanja proračunatih vrijednsoti Pašenove krive i odgovarajućih eksperimentalno dobijenih tačaka. Nakon te dvije oblasti vraća se odnos između proračunatih Pašenovih krivih i eksperimentalno dobijenih tačaka. Objasnjenje ove pojave zavise od topografije površine elektrode, slika 10, zasniva se na činjenici sa polirane elektrode ne mogu zadržati adsorbovane dijelove gasa što je uslov za pojavom probaja vakuma lavinskim mehanizmom. Naime, gasni mjeđur(reda veličine 0,1mm) nema za što da se drži na poliranoj elektrodi slika 10a. Na pjeskarenoj elektrodi slika 10b, ima puno mogućnosti postojanja adsorbovanja lavinskih mjeđurova koji generišu vakuumski probaj sve dok njihov površinski napon izdrži kontra pritisak vakuma. Prema tome lijeva granica Pašenove oblasti zavisi od topografije elektrodnih površina, i u posmatranom slučaju je locirana na 0,25 Pam. Prethodno prikazani rezultati se odnose na Ar, međutim kvalitativno isti rezultati su dobijeni i za ostale plemenite gasove. Također, treba napomenuti da je u praksi pojava lavinskog vakuumskog probaja u tačkama lijevo od Pašenovog minimuma prije pravilo nego izuzetak. Naime, u praksi se veoma rijetko javljaju elektrode polirane do visokog sjaja, a i kada se jave njihove karakteristike se brzo gube.

## 5 ZAKLJUČAK

Da bi se razmatrali mehanizmi i matematički modeli električnog polja u oblasti Pašenovog probaja u oblasti Pašenovog minimuma plemenitih gasova, bilo je potrebno prvo fizički definisati ovu oblast. U radu se razmatraju, uslovno kazano, dvije oblasti Pašenovog minimuma. Prva, uža oblast Pašenovog minimuma je definisana kao oblast u kojoj se sekundarni procesi električnog pražnjenja dešavaju isključivo elektrodnim mehanizmima. Druga, šira oblast Pašenovog minimuma je definisana kao oblast u kojoj se pojava sekundarnih procesa na elektrodama i gasu dešavaju istovremeno (tj. mehanizmi električnog probaja se mješaju). U cilju razmatranja ovako definisane oblasti Pašenovog mininimuma razvijen je pouzdan algoritam za proračun gasa Tauzend-eovim mehanizmom uz primjenu ovog izraza za ionizacioni Tauzend-ov koeficijent. Ovaj novi izraz za ionizacioni koeficijent je zasnovan na pretpostavci važenja makwelove raspodjele gas slobodnih elektrona.

Pored algoritma za proračun vrijednosti Dc probajnog napona i aparata statističke matematike izvedeni eksperimeti mjerjenja Dc probajnog napona visokopreciznim (sa šest značajnih decimalnih cifara) omogućili su da se napravi shema mehanizma električnog proboja u široj oblasti Pašenovog minimuma (a samim time i u užoj oblasti). Idući sa desna u lijevo mehanizmi probaja u široj oblasti Pašenovog minimuma se ređaju na sljedeći način: 1- prelazna oblast mješanja vakuumskog mehanizma katodnog tipa i vakumskog mehanizma lavinskog tipa; 2- oblast vakuumskog lavinskog mehanizma; 3- oblast Anomalnog Pašenovog mehanizma; 4- Pašenov minimum; 5- oblast Townsend-ovog mehanizma i 6-prelazna oblas mješanja Townsend-ovog i strimerskog mehanizma probaja plemenitih gasova je dvostruko potvrđen. Ovdje treba još napomenuti da se lavinski vakuumski mehanizam ne javlja kod elektroda na površinama poliranih površina (do visokog sjaja) ali treba i kazati da se primjena takvih elektroda veoma često javlja u praksi.

## 6 LITERATURA

- [1] Jusić A., Stojić T., Lazarević D., Kovačević U., The influence of parameters of gas-insulated system on the duration of electrical breakdown at points near to Paschen minimum, (2023) Vacuum, 217, art. no. 112549, DOI: 10.1016/j.vacuum.2023.112549
- [2] Osmokrovic Predrag, Mechanism of electrical breakdown of gases at very low pressure and interelectrode gap values, (1993) IEEE Transactions on Plasma Science, 21 (6), pp. 645 - 653, DOI: 10.1109/27.256784
- [3] Arbutina D., Vasić-Milovanović A., Nedić T., The influence of the GM tube insulation parameters on the GM counter characteristics, (2022) Vacuum, 196, art. no. 110755, DOI: 10.1016/j.vacuum.2021.110755
- [4] Electra D. Poulopoulou and Nick P. Petropoulos, A technical note on the uncertainties of the Chen correlation for the boiling heat transfer coefficient at saturated flow, (2024) Nuclear Technology and Radiation Protection, 39(2), pp. 60-166, <https://doi.org/10.2298/NTRP2402160P>
- [5] Belić Č, Jusić A.R., Kovačević U.D., Malaš V.S., Poparić G., The influence of ionizing  $\alpha$  and  $\gamma$  radiation on the statistics of the random variable electrical breakdown of electronegative gases, (2024) Nuclear Technology and Radiation Protection, 39 (4)
- [6] J. M. Meek and J. D. Craggs. Electrical Breakdown of Gasses (Wiley, New York, 1978).
- [7] Yu. P. Raizer, Gas Discharge Physics (Springer, Berlin, 1991)
- [8] A. von Engel, Ionized gases (Oxford: Clarendon, 1966)
- [9] Osmokrović P., Krstic S., Ljevak M., Novakovic D., Influence of GIS Parameters on the Topler Constant (1992) IEEE Transactions on Electrical Insulation, 27 (2), pp. 214 - 220, DOI: 10.1109/14.135593
- [10] Yuliya Zaripova, Vyacheslav Dyachkov, Tatyana Gladkikh, Mirgul Bigeldiyeva, and Nasr Ahmed Nasr Diab, Investigation of gamma radiation shielding features for modified structural materials for nuclear energy and nuclear medicine, (2023) Nuclear Technology and Radiation Protection, 38(2), pp. 108-115, <https://doi.org/10.2298/NTRP2302108Z>

- [11] Osmokrovic P., Djogo G., Applicability of simple expressions for electrical breakdown probability in vacuum, (1989) IEEE transactions on electrical insulation, 24 (6), pp. 943 - 947, DOI: 10.1109/14.46317
- [12] Rajović Z., Vujisić M., Stanković K., Osmokrović P., Influence of SF<sub>6</sub>-N<sub>2</sub> gas mixture parameters on the effective breakdown temperature of the free electron gas, (2013) IEEE Transactions on Plasma Science, 41 (12), art. no. 6645459, pp. 3659 - 3665, DOI: 10.1109/TPS.2013.2286153
- [13] Nenad Kartalović, Alija Jusić, Dušan Nikezić, Koviljka Stanković, Validity of the law of similarity for impulse and DC breakdown of gases in the vicinity of the Paschen's minimum, (2023) Vacuum, Volume 207, 111683, <https://doi.org/10.1016/j.vacuum.2022.111683>.
- [14] Kartalović N.M., Kovačević U.D., Nikezić D.P., Osmokrović P.V., The influence of neutron and gamma radiation on the reliability of magnetic and semiconductor memories, (2024) Nuclear Technology and Radiation Protection, 39 (1), pp. 21 - 28, DOI: 10.2298/NTRP2401021K
- [15] Lazarevic, Stojić T., Jusić A., Kovačević U., A semi-empirical algorithm for determining the impulse characteristics of gas-insulated two-electrode systems in the vicinity of Paschen minimum with and without taking into account the spark channel thermoionization time, (2023) Vacuum, 213, art. no. 112153, DOI: 10.1016/j.vacuum.2023.112153
- [16] Trang Le Thi Ngoc, Linh Nguyen Thi Truc, Thanh Tran Thien, Tam Hoang Duc, Chuong Huynh Dinh, "An approach based on gamma-ray transmission technique and artificial neural network for accurately measuring the thickness of various materials", (2023) Nuclear Technology and Radiation Protection, 39 (2), pp. 98-110, DOI:10.2298/NTRP2402098T
- [17] Kartalović N.M., Kovačević U.D., Nikezić D.P., Jusić A.R., Influence of electromagnetic pollution of the electron beam generator and high-energy radioactive source on the memory components, (2024) Nuclear Technology and Radiation Protection, 38 (1), pp. 10 - 17, DOI: 10.2298/NTRP2301010K
- [18] Osmokrović, P. "Electrical Breakdown of SF<sub>6</sub> At Small Values of the Product Pd" (1989) IEEE Power Engineering Review, 9 (10), pp. 52 - 53, DOI: 10.1109/MPER.1989.4310322
- [19] Penderson, A. "Criteria for Spark Breakdown in Sulfur Hexafluoride" (1979) IEEE Transactions on Power Apparatus and Systems, PAS-89 (8), pp. 2043 - 22043, DOI: 10.1109/TPAS.1970.292789
- [20] N., Marjanovic, M. Vujisic, K., Stankovic, D., Despotović, P., Osmokrović, "Simulated exposure of titanium dioxide memristors to ion beams", September 2010, Nuclear Technology and Radiation Protection 25(2):120-125, DOI: 10.2298/NTRP1002120M

- [21] Milić M. Pejović; Nikola T. Nešić; Momčilo M. Pejović, “Kinetics of positive ions and electrically neutral active particles in afterglow in neon at low pressure”, Phys. Plasmas 21, 042111 (2014), <https://doi.org/10.1063/1.4871485>
- [22] M. M. Pejović, M. M. Pejović, K. Stanković, “Physico-Chemical Processes Induced by Electrical Breakdown and Discharge Responsible for Memory Effect in Krypton with < 10 ppm Nitrogen”, Plasma Chemistry and Plasma Processing, Volume 38, pages 415–428, (2018)
- [23] Pejović, M., Pejović, M., Belić, Č., Stanković, K., “Separation of vacuum and gas breakdown processes in argon and their influence on electrical breakdown time delay”, Vacuum, 173, <https://doi.org/10.1016/j.vacuum.2019.109151>
- [24] Kartalović N.M., Stojić T.M., Kovačević U.D., The influence of radiation on the characteristics of superinsulator films, (2023) Nuclear Technology and Radiation Protection, 38 (3), pp. 194 - 201, DOI: 10.2298/NTRP2303194K
- [25] 1R. Latham. High Voltage Vacuum Insulation-the Physics Basis (Academic, London, 1981).
- [26] Jusić A.R., Lazarević D.R., Turković I.M., Influence of ionizing radiation on the stochasticity of overvoltage protection at low, medium, and high voltage levels in gas surge arresters, (2023) Nuclear Technology and Radiation Protection, 38 (1), pp. 18 - 29, DOI: 10.2298/NTRP2301018J
- [27] Hauschild W, Mosch W. Statistik fur Elektrotechniker. Verlag Technik; 1984.
- [28] Arbutina D.S., Stojić T.M., Vasić-Milovanović A.I., Kovačević U.D., Brajović D.V., Aging of the Geiger-Muller counter due to particle conductance in an insulating gas, (2017) Nuclear Technology and Radiation Protection, 32 (3), pp. 250 - 255, DOI: 10.2298/NTRP1703250A
- [29] Pejović, M. “Analysis of the memory effect in a nitrogen-filled tube at 6.6 mbar pressure for different cathode materials using the time delay method”, Phys. Plasmas 11, 3778–3786 (2004), <https://doi.org/10.1063/1.1760583>
- [30] S. O. Macheret; M. N. Shneider, “Kinetic modeling of the Townsend breakdown in argon”, Phys. Plasmas 20, 101608 (2013), <https://doi.org/10.1063/1.4823471>
- [31] Alimpijević, M., Stanković K., Ignjatovic M., Cvetić J., “The Maxwellian nature of free-electrons' gas spectrum of noble gases at low pressure”, Vacuum, 21, December 2014, Pages 19-23, <https://doi.org/10.1016/j.vacuum.2014.08.005>
- [32] Stanković K., Alimpijević, M., “Free-Electron Gas Spectrum Uniqueness in the Mixture of Noble Gases”, Contributions to Plasma, Volume56, Issue 2, Pages 126-133, 2016, <https://doi.org/10.1002/ctpp.201500041>
- [33] Zhen Wang, Siming Guo, Ziyao SHU, Xing Zhou, Zhiwei LI, Shikui Huang, and Jinjie Wu, Measurement of mass attenuation coefficients of niobium, molybdenum, tantalum and tungsten near the absorption edge, (2024) Nuclear Technology and Radiation Protection Volume 39(2), pp. 111-120, <https://doi.org/10.2298/NTRP2402111W>

- [34] Xian Qiang Tang, Rui Zhao, Wei Feng Zhu, Bin Guo, Feng Qin, Bo Liu, and Jin Jie Wu, Simulation and measurement of X-ray scattered radiation in radiodiagnosis, (2023) Nuclear Technology and Radiation Protection, 38(2), Issue 2, Pages: 125-134, <https://doi.org/10.2298/NTRP2302125T>
- [35] Polužanski V., Kovacevic U., Bacanin N., Rashid T.A., Stojanovic S., Nikolic B., Application of Machine Learning to Express Measurement Uncertainty, (2022) Applied Sciences (Switzerland), 12 (17), art. no. 8581, DOI: 10.3390/app12178581
- [36] Poluzanski V.S., Kovacevic U.D., Nikolic B.D., Algorithm for calculating influence of power transformer oil temperature change on the accuracy of all-acoustic non-iterative partial discharge localization, (2018) FME Transactions, 46 (2), pp. 183 - 193, DOI: 10.5937/fmet1802183P
- [37] Stankovic K., Osmokrovic P., The model for calculating the type a measurement uncertainty of GM counters from the aspect of device miniaturization, (2014) IEEE Transactions on Nuclear Science, 61 (3), art. no. 6819052, pp. 1316 - 1325, DOI: 10.1109/TNS.2014.2317233
- [38] S. C. Braun. Introduction to Electrical Discharge in Gases (Johan Wiley and Sons, Inc, New York, 1966).